

図1A

# ルシフェラーゼ活性/ $\beta$ -ガラクトシダーゼ活性 (標準化)

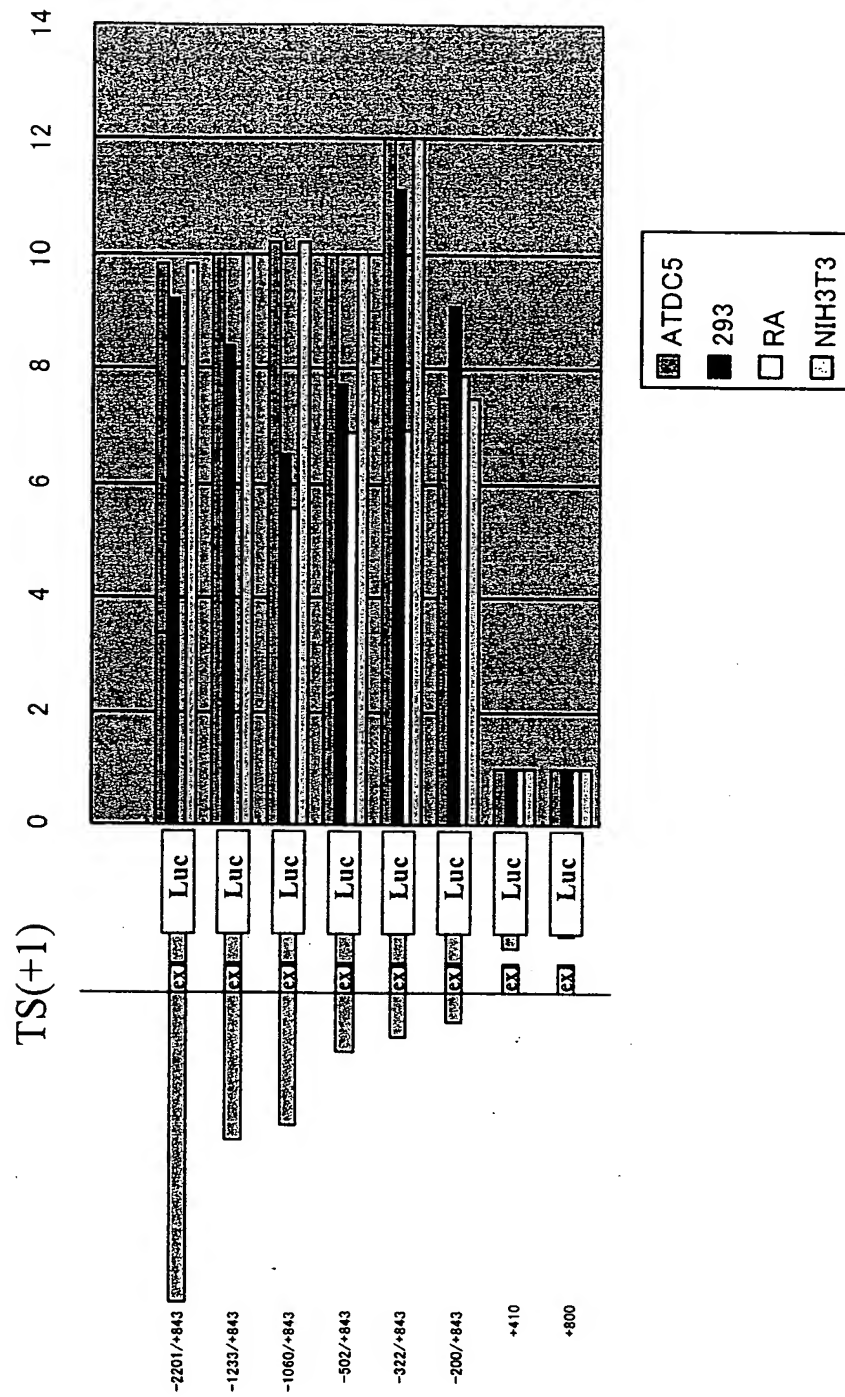
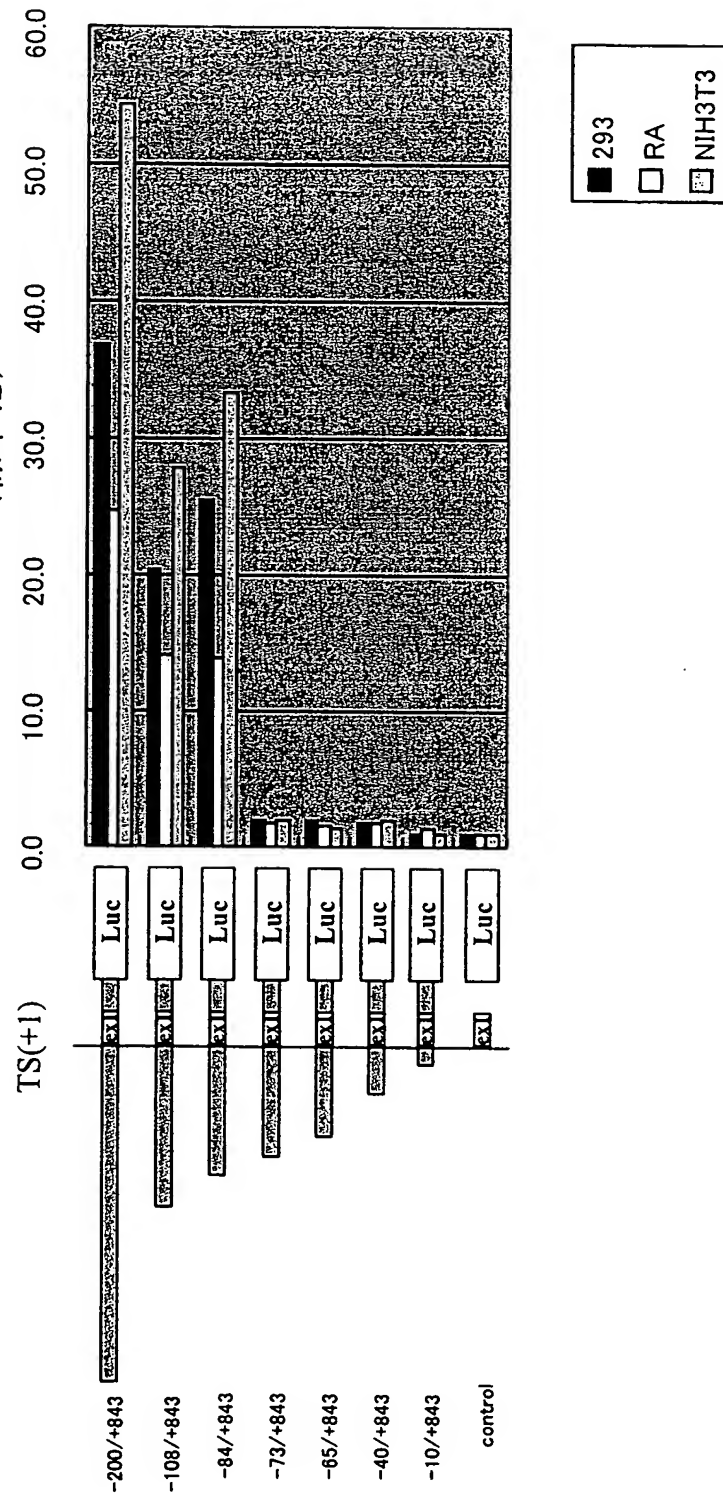
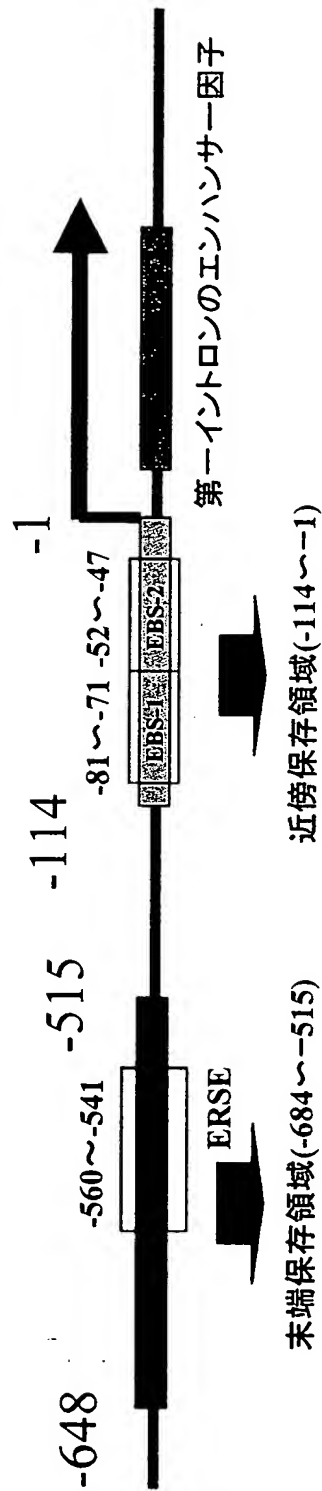


図1B

ルシフェラーゼ活性/ $\beta$ -ガラクトシダーゼ活性  
(標準化)



100



ヒト/マウスホモロジー 81.9%

93.8%

<96.9% / 97bp>

[illegible]

図1D

転写開始点(+1)

-100 -95~-86 -81~-71-72~-67



変異体	野生型	変異
ABS(AML 結合部位)	TGAGGTT	TGAGTT
EBS-1(Ets 結合部位)	GCCGGAAGTGA	GCCGTAAGTGA
SBS-1(Sp1 結合部位)	GCCGGGCCCC	GCCAAAGCCCC

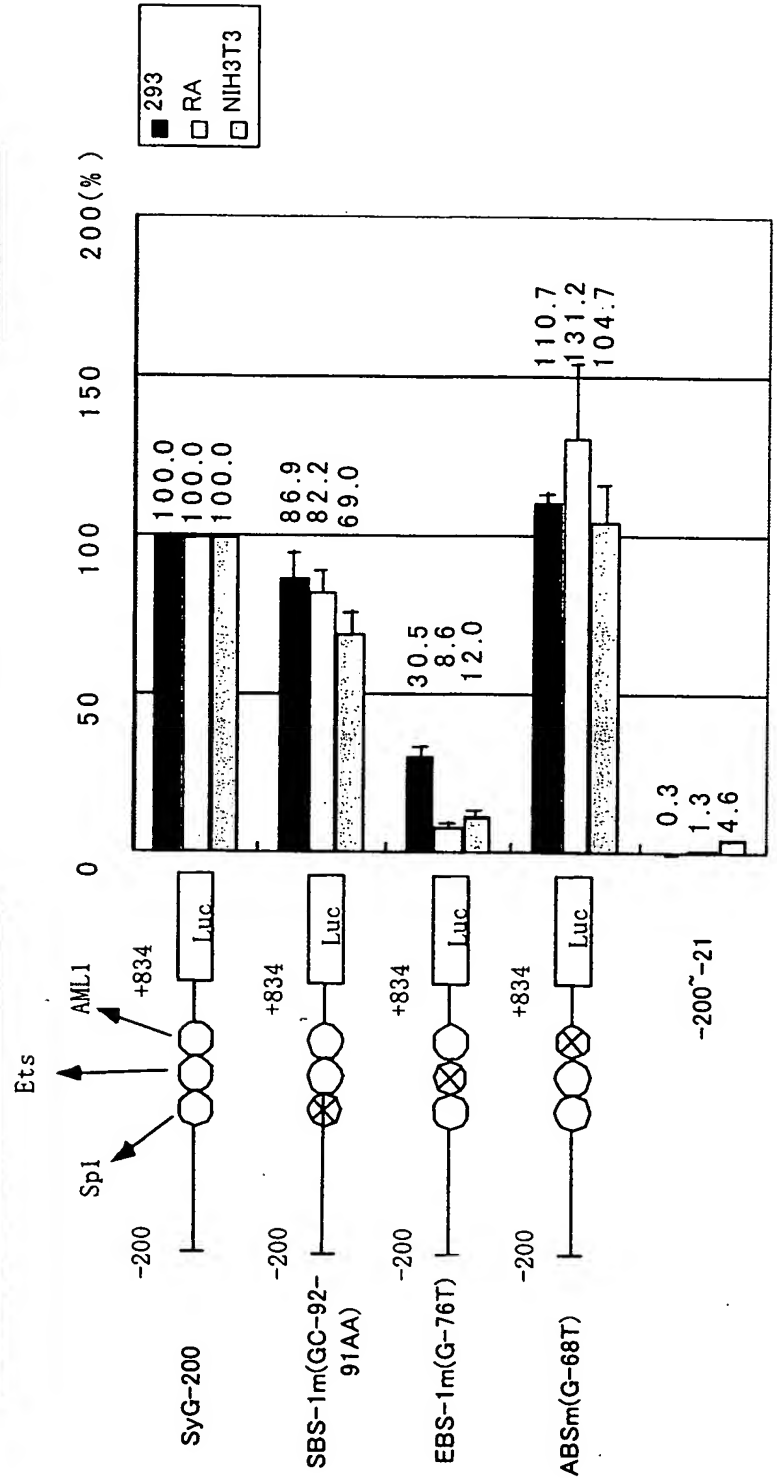


図2A

NIH3T3 核抽出物  
 $\longleftrightarrow$   
 EBS-1 プロローブ (-85~-70)  
 $\longleftrightarrow$   
 $\times 100 \times 100 \times 100 \times 100$

競合

1 2 3 4 5 6  
 C1 C2 C3 C4

a

b

c d

C1; EBS-1 野生型  
 C2; EBS-1(G-76T) 変異体  
 C3; Ets1/Pea3 プロローブ  
 C4; Ets1/Pea3 変異体プロローブ

図2B

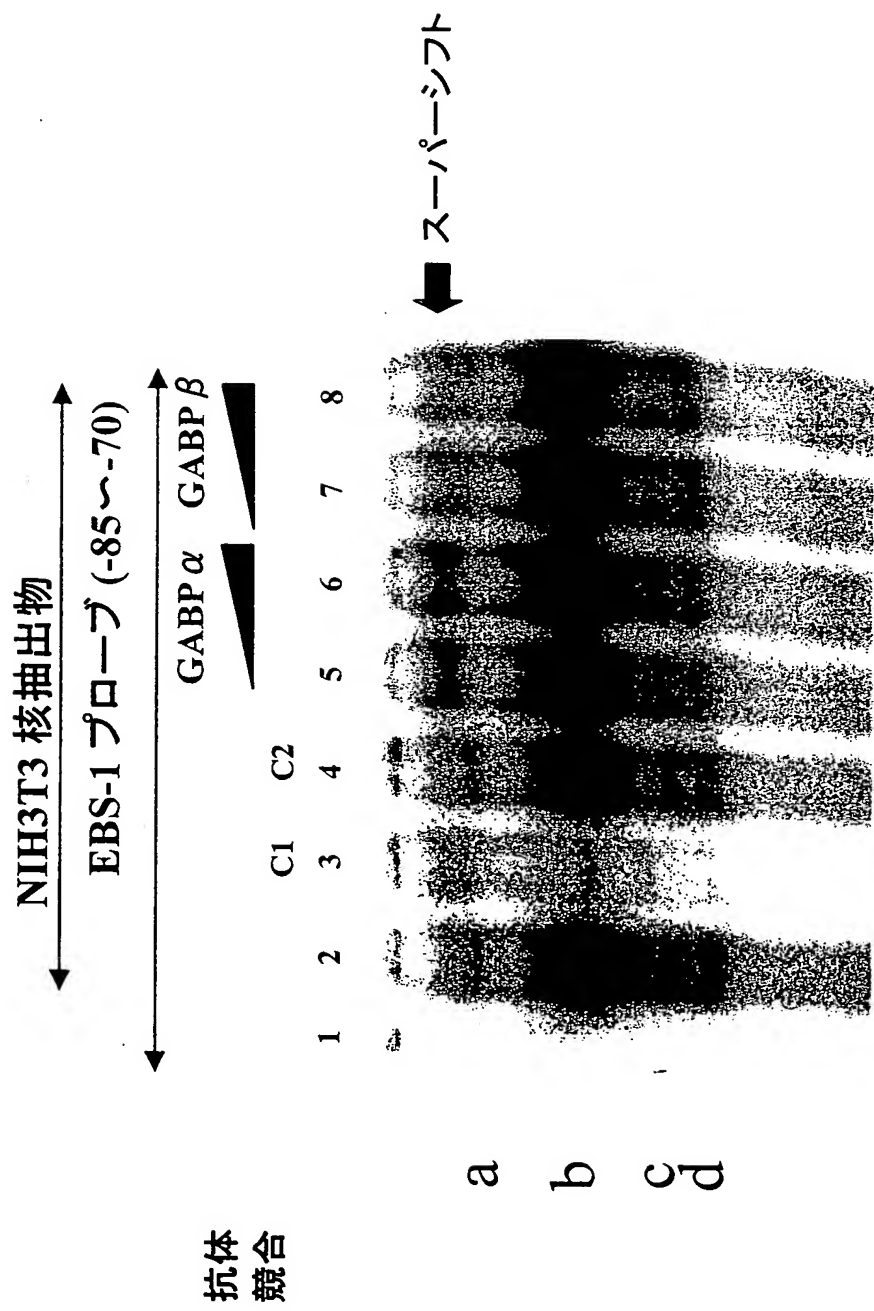


図2C

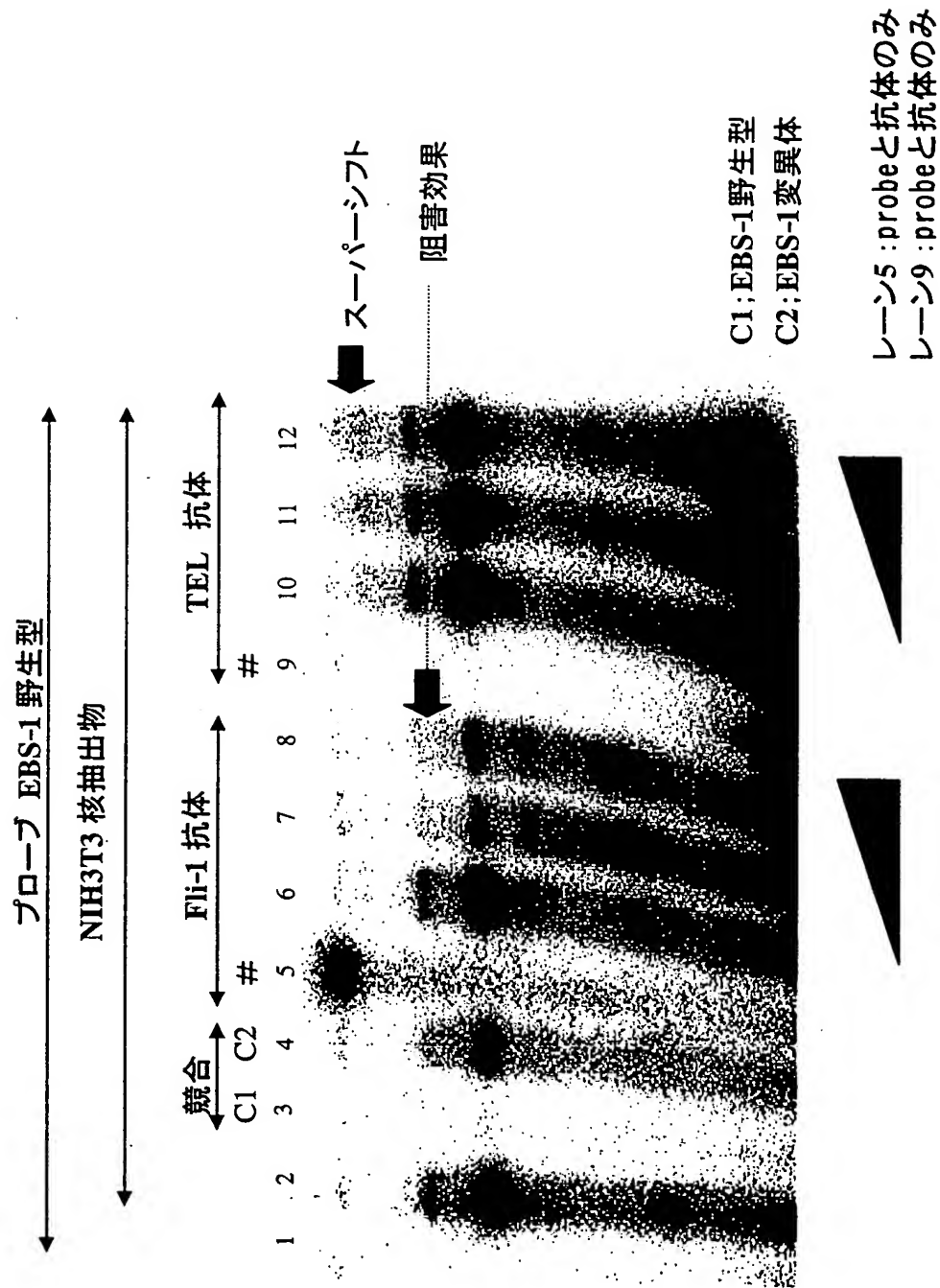


図2D

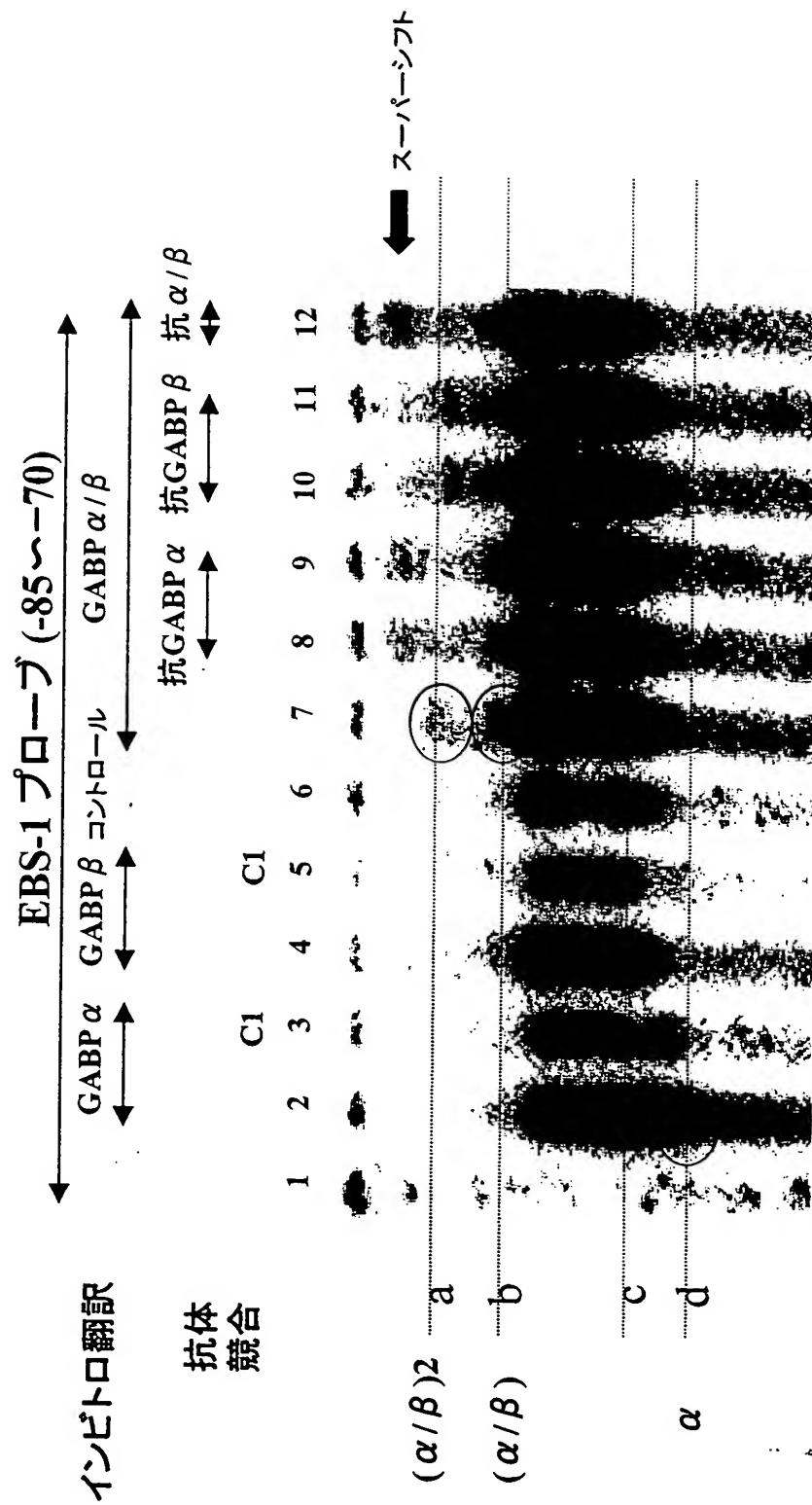
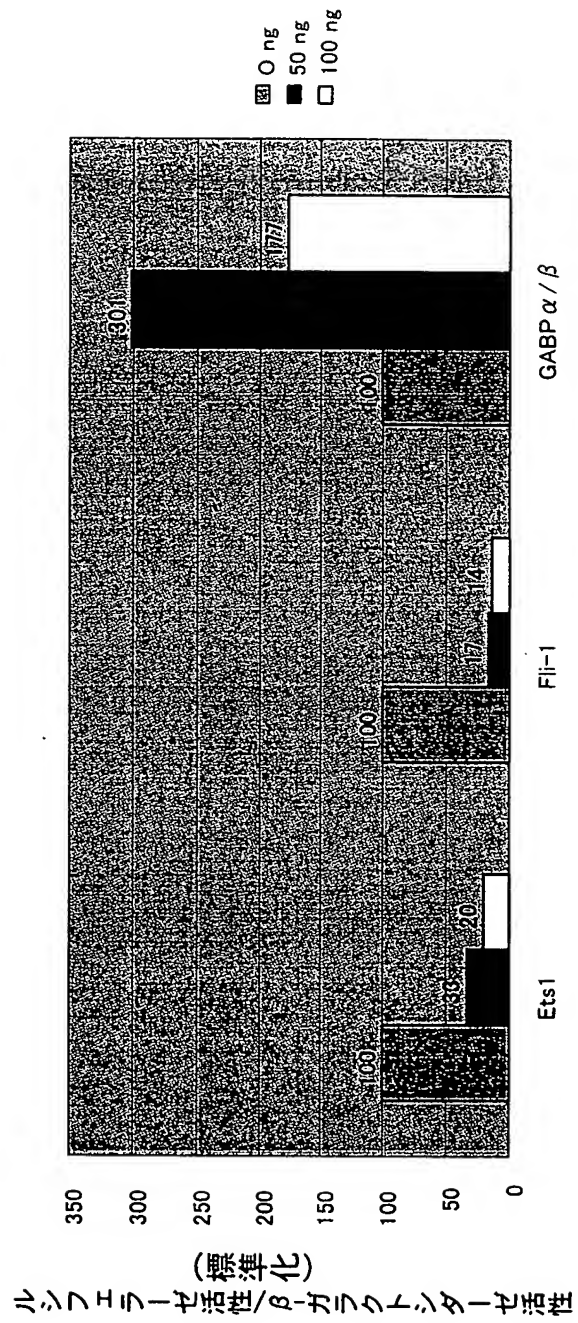




図 3A



エフェクター

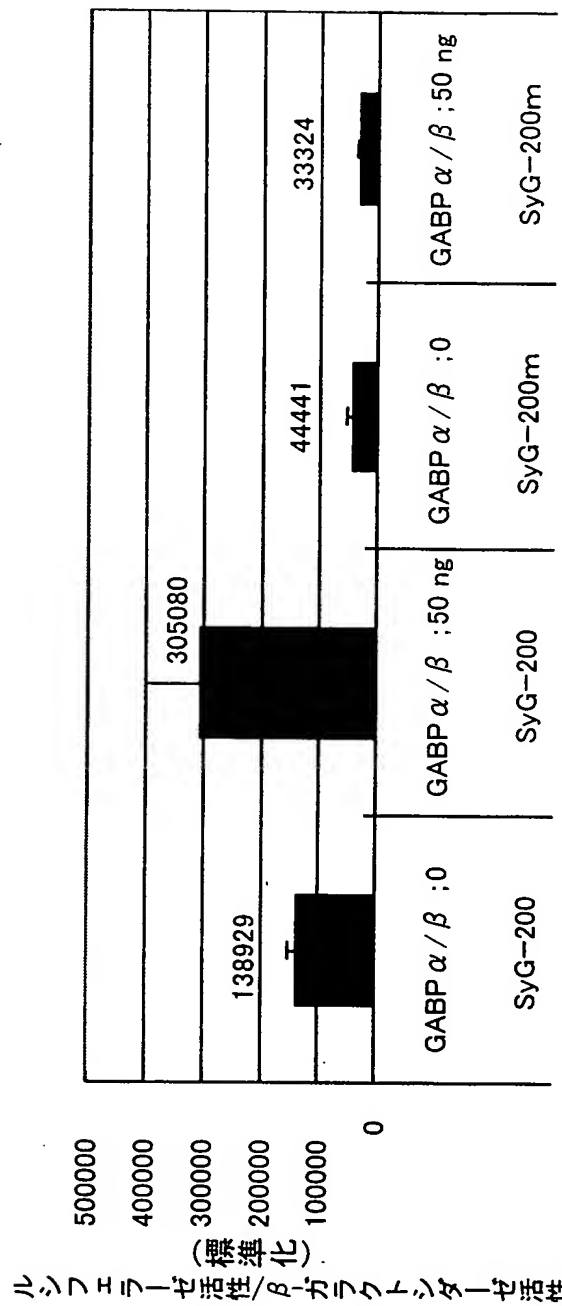
レポーター

SyG-200  
(50 ng)

SyG-200  
(50 ng)

SyG-200  
(50 ng)

図3B

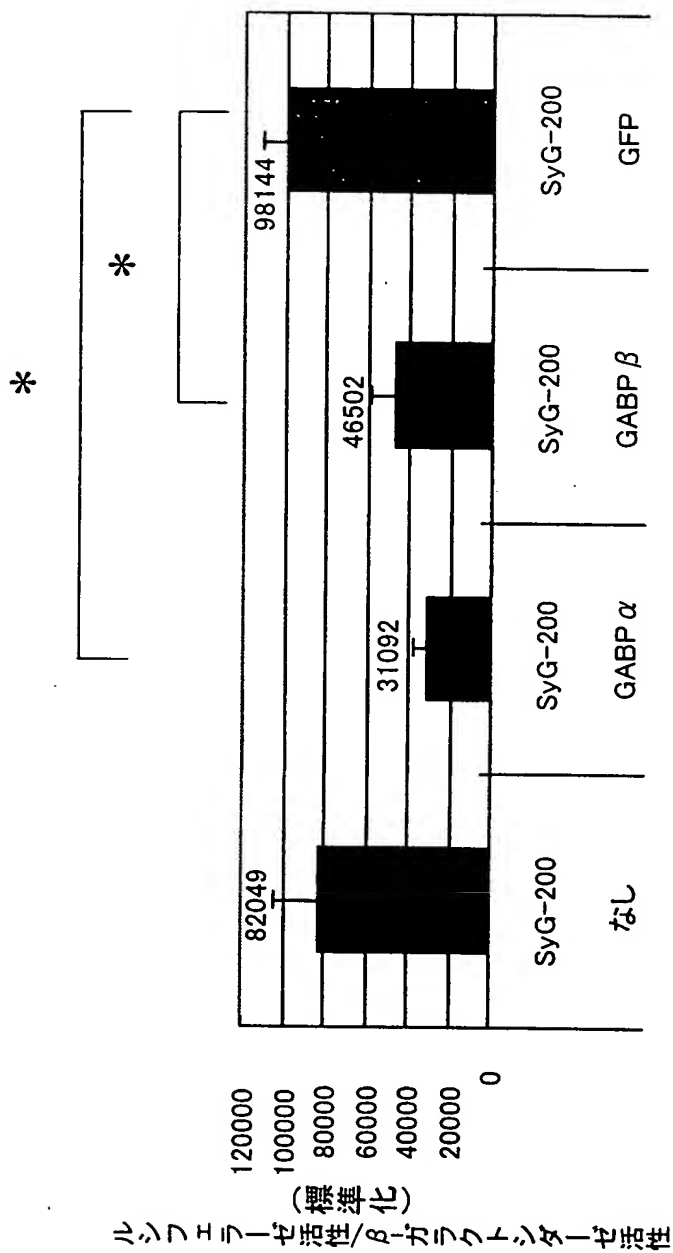


変異体

野生型

レポーター(50 ng)

図3C



レポーター 200 ng

RNAi 40 nM

図4A

マウスゲノム

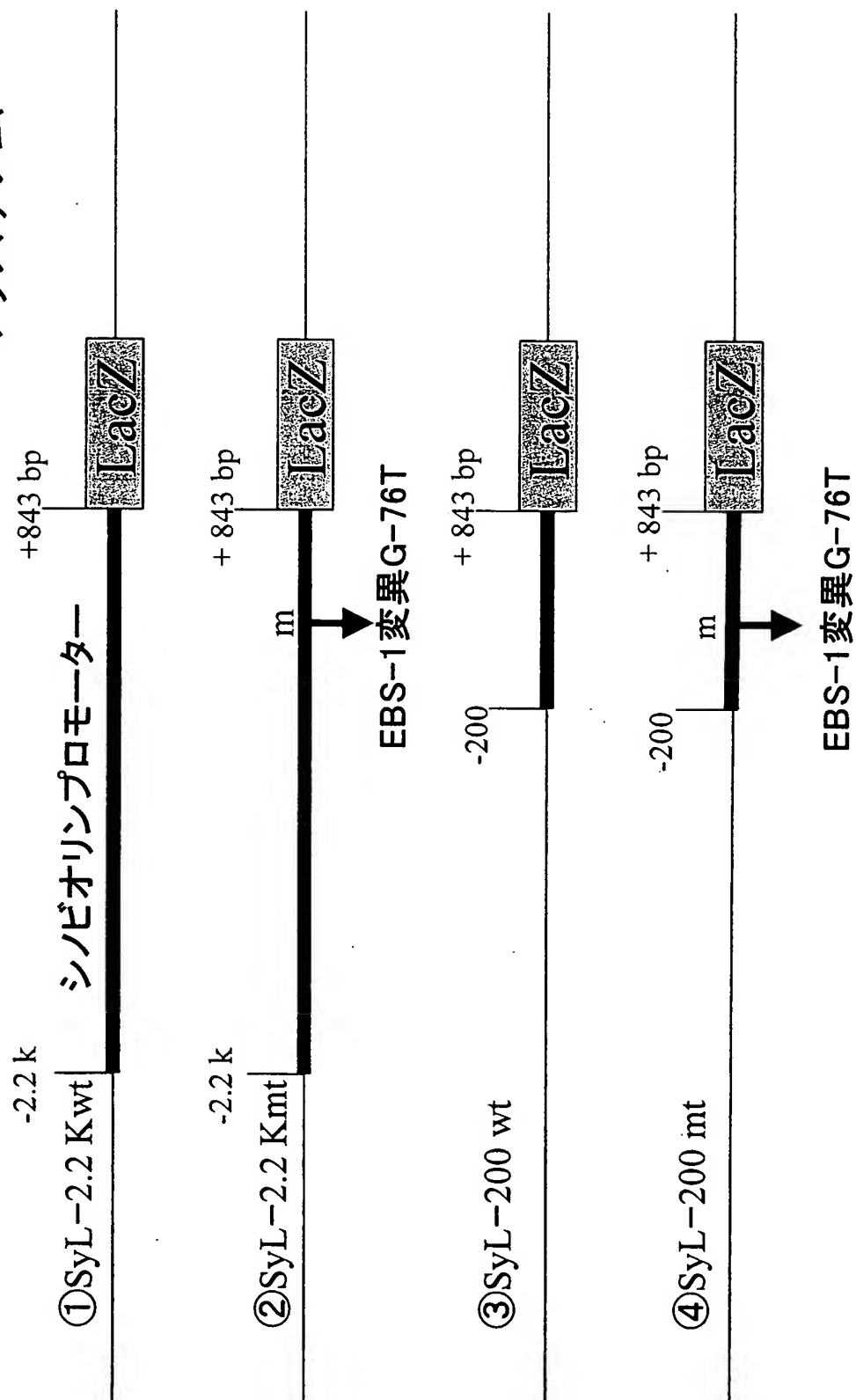


図4B

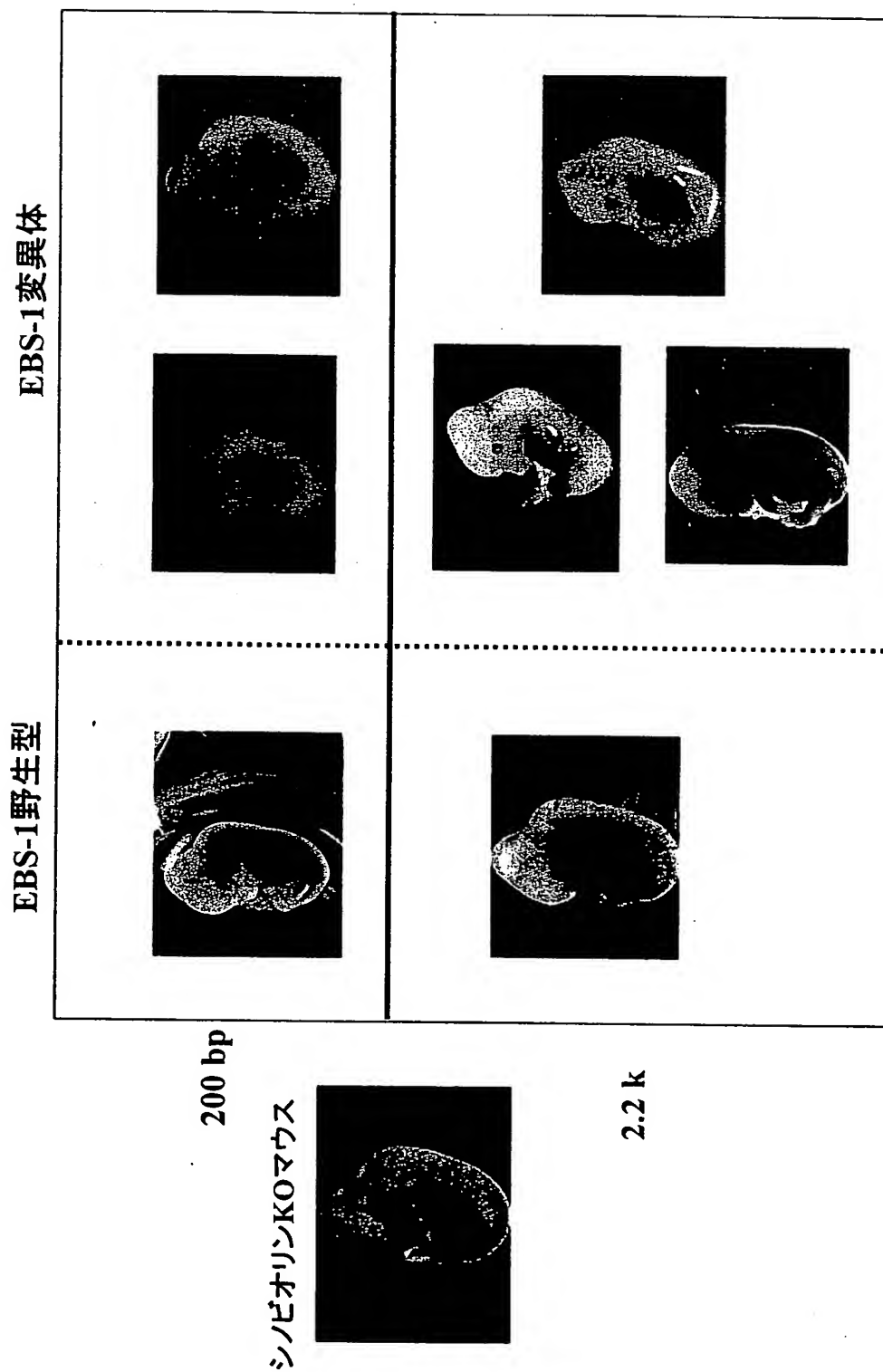


図4C



$\alpha$  Syn7Ca  $\times 1/100$   
+マウス IgG



GABP  $\alpha$  (C20;sc13442X)  $\times 1/100$   
+ヤギ IgG



脊椎

体節

$\times 40$



肺

心臓

$\times 40$

配列名称	配列
EBS-1 デコイ	5' - GCG CCG CCG GAA GTG AGG TG-3' 3' - CGC GGC GGC CTT CAC TCC AC-5'
スクランブル (ネガティブコントロール)	5' - TTG CCG TAC CCT ACT TAG CC-3' 3' - AAC GGC ATG GGA TGA ATC GG-5'

図6

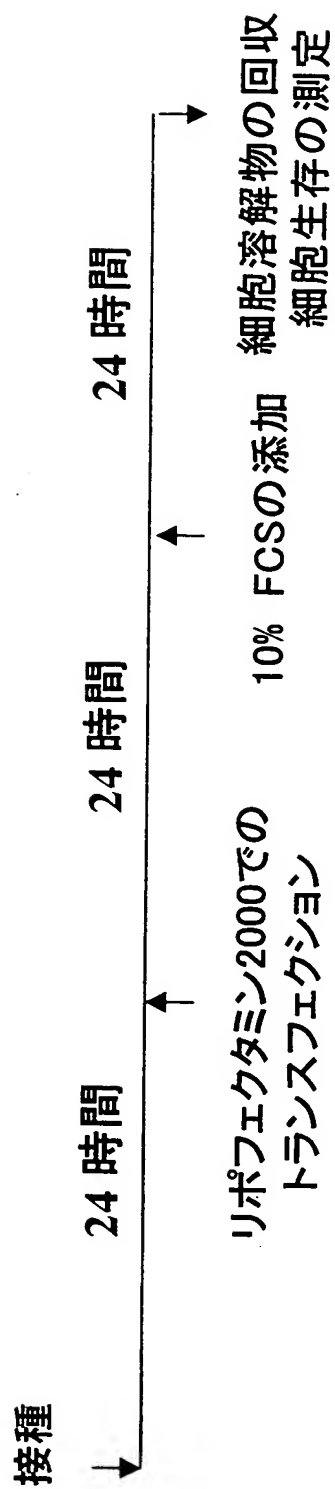




図7A

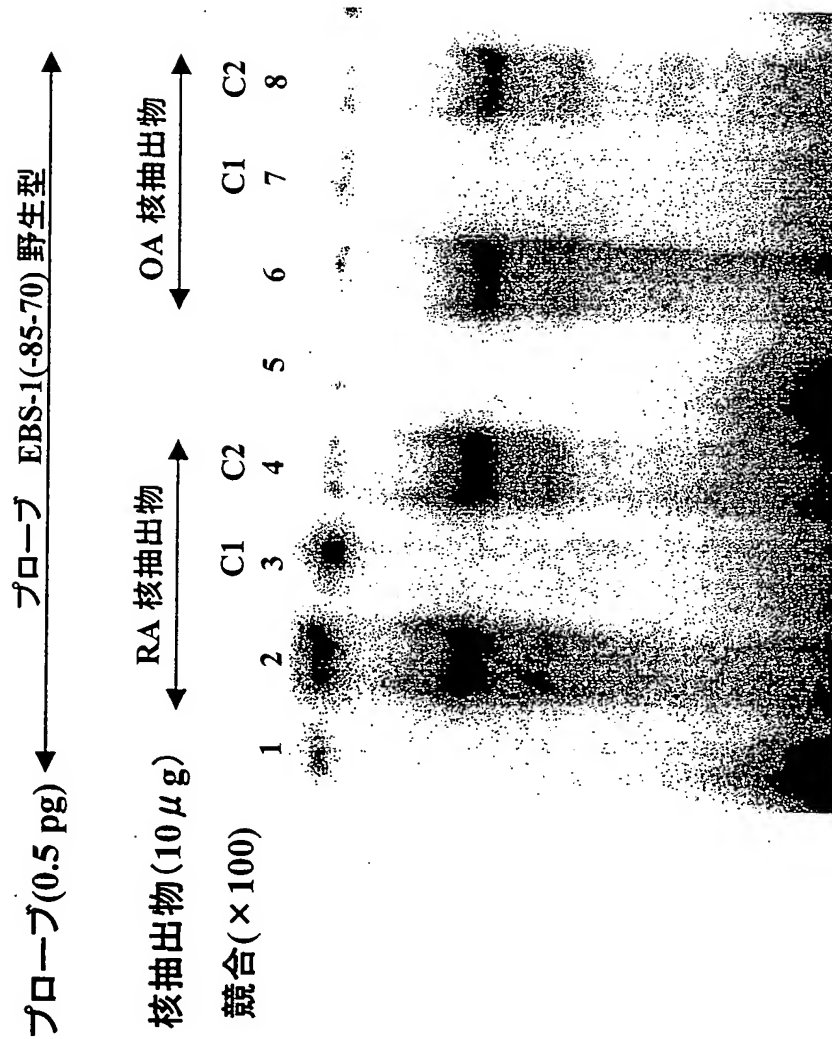


図7B

# 細胞増殖活性

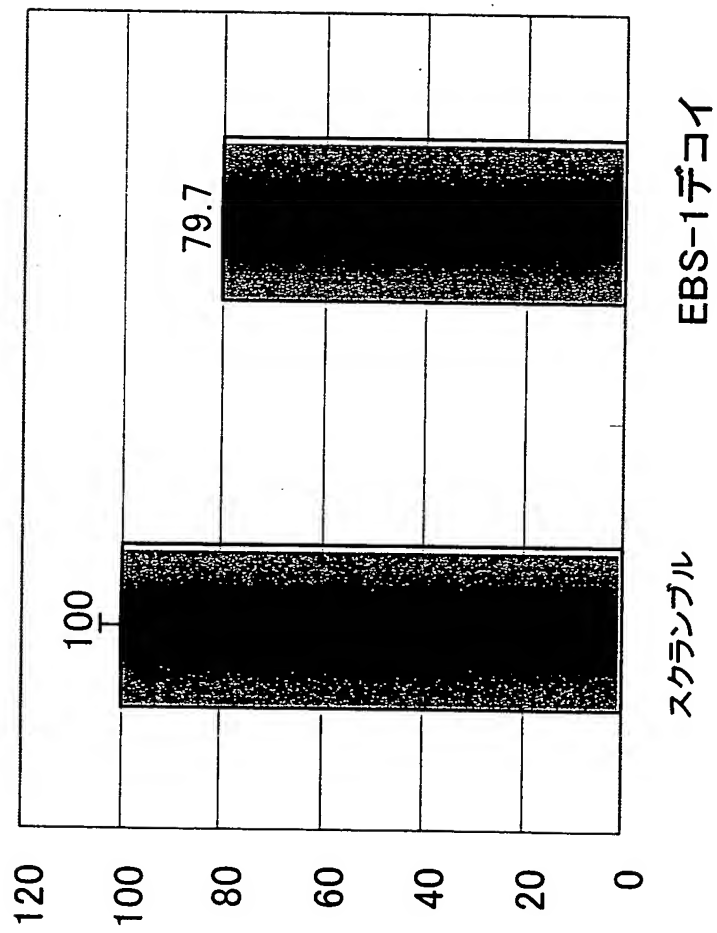


図7C

## ウェスタンブロットティング

スクランブル      EBS-1デコイ

シノビオリン



$\beta$ -アクトチン



35% 減少

図8A

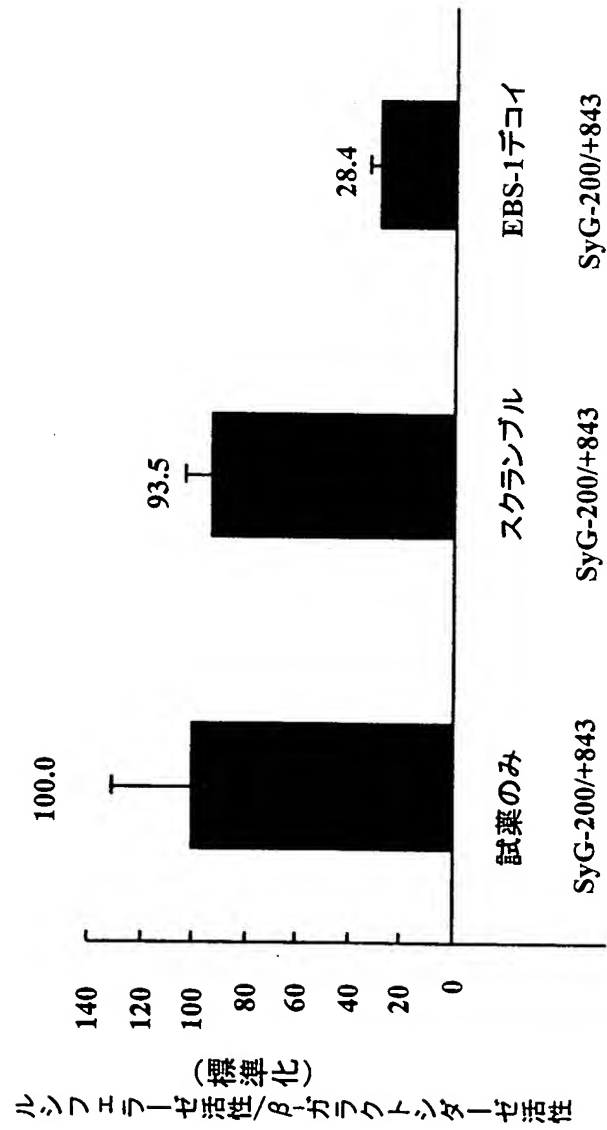


図8B

1 2

スクランブル EBS-1デコイ



スクランブル

EBS-1デコイ

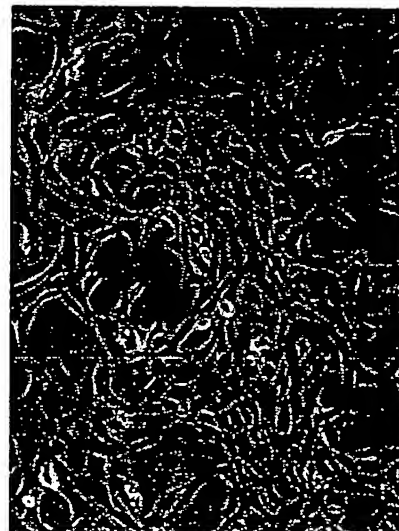
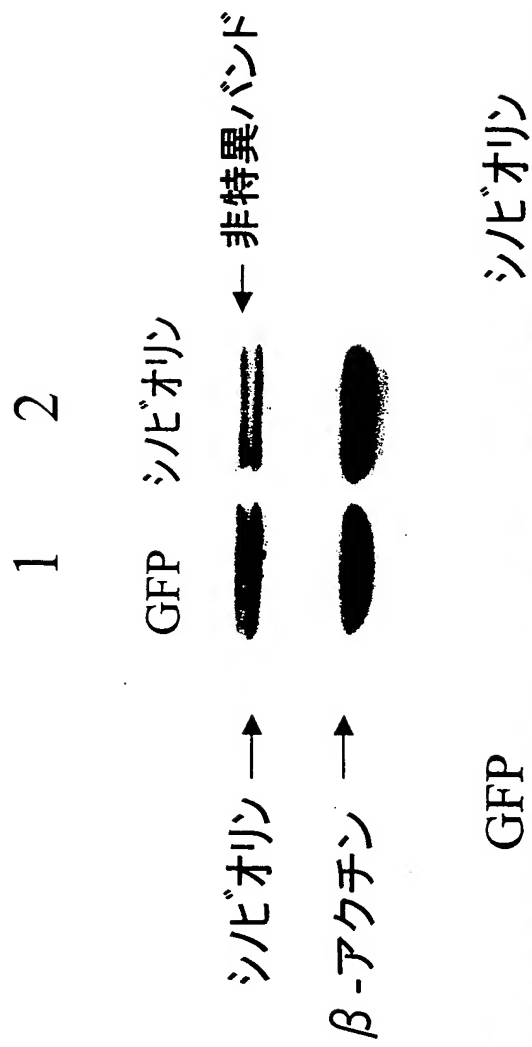


図8C



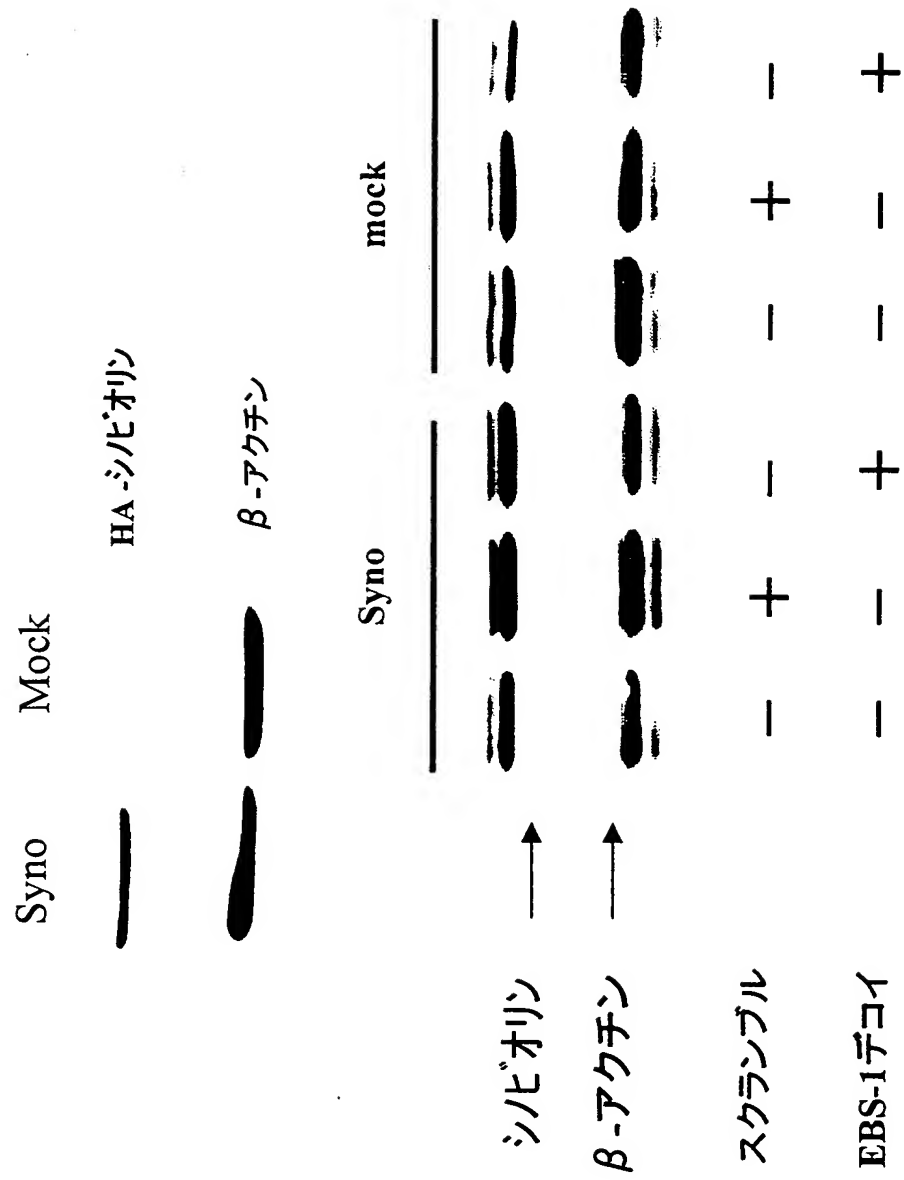
GFP



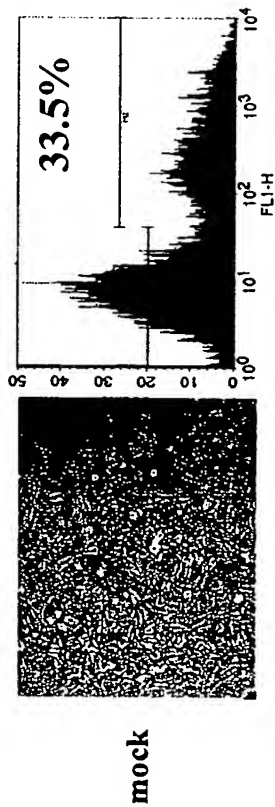
シ/ビオリン



図9A



スクランブル



EBS-17コイ

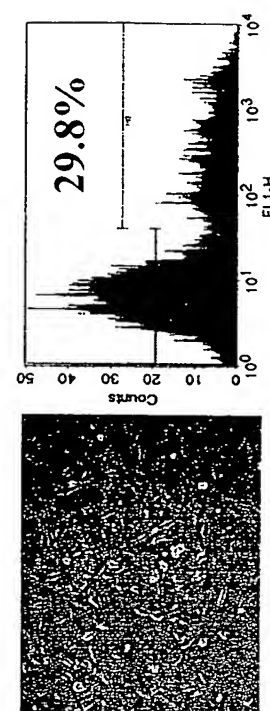
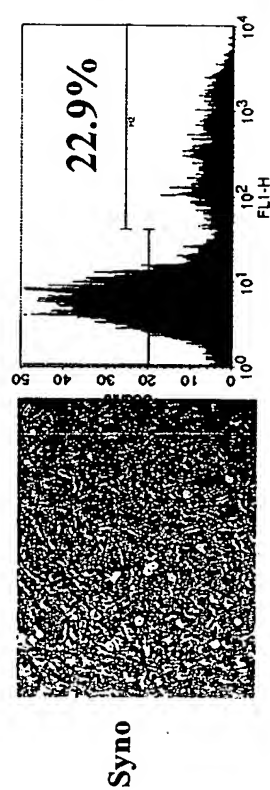
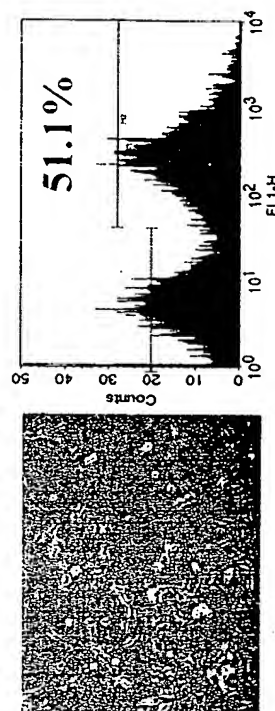




図10

□ シノビオリン/GAPDH(相対値):  
 EBS-1デコイのシノビオリンRNA発現に対する影響

■ シノビオリン/GAPDH(相対値):  
 シノビオリンsiRNA のシノビオリンRNA発現に対する影響

